

Sn (ras)

30-7463-16 | 1926

(spec. coll.)

Carroll J.A.

J. Trans. Roy. Soc.
(London), 1926, A225,
357

Sn; z.

(expt. corr)

130-7191-15 | 1927

Back E.

Z. Z. Physik 43,
309 (1927)

Sr; 2

(242 p. 2. sect.)

AP-574a-IV | 1927

Green J. B.,
Zoring R.A.

Phys. Rev., 1917,
30, 574-91

1924

8504 - *V*

Sb⁺⁺, Sb⁺⁺⁺, g, (J)

Sn, g (

Narayan and Rao

1. Z. Physik 45, 350, 1927

J

8227 - IV

1928

Sn; g (

Sb⁺⁺, Sh⁺⁺⁺, g, (I)

Lang R.J.

2. Phys.Rev. 32, 737-45, 1928

J

Sn; z.

BD-8711-10 [1928]

(except. const.)

Rao K.R., Rao A.S.,
Narayan A.L.

1. Indian J. Phys., 1928,
L, 467

Sn II

(J)

BP-6509-IV | 1938

McCormick W.W.
Sawyer R.A.

Phys. Rev., 1938, 34,
71-5

34

1951

6844.

Garton W.R.S.

Ultra=violet absorption spectra
of tin vapour in atmospheres of
helium and hydrogen.

Cneijpma

Proc. Phys. Soc., Sec.A, 1951,
1/VI, Vol. 64, N 378, p. 591=592.

Sh
(?)

B9 - 6497-10 | 1953

Bauch G.,
Wieland J.

Helv. phys. acta, 1953,
26, N 7-8, 697-730

1953

6459 - 17

MgO, Sn(Hs), SnO (Do)

Porter R.F.

U.S. At. Energy Comm. 1953, UCRL-2416,

46pp

A thermodynamic study of ...

M, J

S_n

Pannetier G. u gp.

1963

Compt. Rend.,

256, 2854

cuenkup

(Cu. SH) III

1966

Clay

Sn-Sn

33340b Metal-metal stretching frequencies in Raman spectra. H. M. Gager, J. Lewis, and M. L. Ware (Univ. Manchester, Engl.). *Chem. Commun.* 1966(17), 616-17(Eng). High Raman intensity is characteristic of M-M stretching frequencies, esp. binuclear systems. M-M stretching frequencies $\gamma(M-M)$ were observed for the following compds.: Sn_2Ph_8 (208 cm.^{-1}), $Sn(SnPh_3)_4$ (207 cm.^{-1}), $Hg_2(NO_3)_2 \cdot 2H_2O$ (170 cm.^{-1}), Hg_2Cl_2 (166 cm.^{-1}), Hg_2Br_2 (133 cm.^{-1}), $Ph_3SnMn(CO)_5$ (174 cm.^{-1}), $Mn_2(CO)_{10}$ (157 cm.^{-1}), $MrRe(CO)_{10}$ (182 cm.^{-1}). All 3 fundamentals were measured for solid $Hg_2(NO_3)_2 \cdot 2H_2O$, Hg_2Cl_2 , and Hg_2Br_2 , and the bond-stretching force consts. $k_1(Hg-Hg)$, $k_2(Hg-X)$, and the interaction const. k_{12} between adjacent bonds were calcd. Rough M-M force consts. may also be obtained.

Fundamental frequencies and force constants of mercurous compounds

Compound	ν_1	ν_2	ν_3 (cm. $^{-1}$)	k_1	k_2	k_{12} (milli-dyne/A.)
$Hg_2(OH_2)_2(NC_2)_2$	170	389	382	1.93	1.42	-0.05
Hg_2Cl_2	166	275	261	2.13	1.21	0.03
Hg_2Br_2	133	204	180	1.93	1.09	0.17

S. G. Zipp

C. A. 1967. 66. 8

1967

Sn

7 Д30. Исследование сверхтонкой структуры терма $(5p6s)^3P_1^0$ для изотопов Sn¹¹⁷ и Sn¹¹⁹ в спектре SnI методом пересечения уровней. В г i e g e r M., Z i m m e r t a n n P. Level-Crossing-Untersuchung der Hyperfeinstruktur von Sn¹¹⁷ und Sn¹¹⁹ im $(5p6s)^3P_1^0$ -Term des Sn I-Spektrums. «Z. Naturforsch.», 1967, 22a, № 12, 2001—2004 (нем.; рез. англ.)

Методом пересечения уровней определены константы магнитной сверхтонкой структуры для стабильных нечетных изотопов Sn¹¹⁷ и Sn¹¹⁹, а из ширины сигнала пересечения уровней найдено среднее время жизни $\tau = 4,5(7) \cdot 10^{-9}$ сек. Наблюдалось пересечение зеемановских подуровней $F=3/2$, $m=3/2$ и $F=1/2$, $m=-1/2$, ко-

90 · 1968 · 78

торое для изотопов Sn^{117} и Sn^{119} происходило при напряженностях магн. поля 2475,7(6) и 2591,1(6) э соответственно. Поскольку отношение магн. моментов ядер обоих изотопов составляет 0,9558(1), то максимальное возможное значение аномалии сверхтонкой структуры равно $8 \cdot 10^{-4}$.

Т. К. Ребане

Sn

(A)
оценка

(Бр - № 2356-IV)

Кончева А. Т.

1867

Уб. ВУЗ, физика, № 4, 91.

О применении метода
дифракционного изображения
к изучению неоднородных
веществ - первых кристал-
лических (акт. ВУ) III

Sn

Lin S.-S., Stafford F. E. 1987

J. Chem. Phys., 47, n¹¹,
4664.

Stone perovskite cerium
nitrate fayalite type
Zeebkovskite type
IV. At 0  nor trigonal
-IVB. (Co_x. Ag)^{III}

Sn

Politzer P.

1968

Trans. Far. Soc.,

Aē

64, N9, 2241

(U. Ga) III

1970

Sn

Чаркин О. Г.
Демченко Н. Е.

У, №

Справочное значение и свойств.

химиче, киев, „Наук. думка“

1970, 163.

(см. РБ) !!!

Sn

1970

2 Д308. Изотопические сдвиги Sn в ультрафиолетовую область. Тату V. S. Isotopic shifts of Sn in the ultraviolet domain. «Rev. гоум. phys.», 1970, 15, № 3, 285—296 (англ.; рез. франц.)

Измерены изотопич. сдвиги Sn для спектральных линий атома олова Sn I $\lambda=3262,33 \text{ \AA}$ и Sn I $\lambda=3175,02 \text{ \AA}$ на обогащенных образцах ^{116}Sn , ^{118}Sn , ^{120}Sn , ^{122}Sn и ^{124}Sn . Выполненные теоретич. оценки вклада в полный изотопич. сдвиг нормального и специфич. эффекта массы позволили определить вклад объемного эффекта из эксперим. данных с достаточной точностью. Оценены экспериментальные изотопич. константы для пар исследуемых изотопов. Используя в качестве эталона ^{120}Sn , автор определил относит. величины параметра ядерной деформации α для исследуемых изотопов. Эксперим. результаты подтвердили теоретич. предсказания свойств ядра.

В. Л. С.

оп. 1971. 28

Sn IV

Bishop D.C.,
King W.H.

1971

(ε_i)

"J. Phys. B. Atom. and Mol.
Phys.", 1971, 4, N 12,
1798 - 1807.

% em Cd II, III kapit.

Sn

Закеберг Э.Э. 1941
at all

Fe

нс. ТЕХН. физ. 1941,
41, №5, 1087-58



(Ces. Cu) $\bar{I}\bar{I}$

Sn

1971

Cabaedd B., Uzai R., Nounou P.

(y) Adv. Mass Spectrom. Vol 5.
London, 1971, 399-403.

● Cee Ag; III

Sn

Cabaud B. Hoareau A., 1972
Noireaux P., Uzan L.

(y)

Int. J. Mass Spectrom. Ion
Phys., 1972, 8, 181-91.

See Sec; III

Sn.

1971.

Kondrat'eva, E.V.

Mater. Naukh.-Tekh. Konf.

Leningrad. Elektrotekh. Inst. Svyazi

1971, No 4, I62-6

(cut. Pb; III)

1941

Sr

Mann D. M.
Broda H.P.

спектр
в

магните

J. Chem. Phys.,

1941, 55, 1, 84

(Cu. Cr) III

Sn

1971

Mann D.M.

see ref.

Broida H.P.

& references

J. Chem. Phys.,

Si

1971, 55, ~1,89.

(Au. Cr)I

Sh

1972

(γ)

Bogdanov R.V.

Radiokhimiya 1972, I4(5), 744-6.

• (call. №; III)

1973

Sn

Дубороб В. В.

"Пр. по химии и хим.
технологии" 1973, вып 4/35)

(8i)

141-142.

(есл; III)

Sn

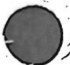
1973

Feldmann &

Rackwitz, R.

"Phys. Lett.", 1973,
5(5), 404

($A\bar{e}$)



(cur. Li; III)

δ Sn-

1973

A-2710.

MAKITA T.

δ e

Mass Spectrosc., 1973, 2i, (4),
293-301.

1973

Sn

8 Д278. Изотопическое смещение и сверхтонкая структура в атомном спектре олова. Silver J. D., Stacey D. N. Isotope shift and hyperfine structure in the atomic spectrum of tin. «Proc. Roy. Soc. London», 1973, A332, № 1588, 129—138 (англ.)

Изучены линии 3262; 3283; 6454 Å эмиссионного спектра олова. Измерены изотопич. смещения трех линий и постоянные сверхтонкого расщепления линии 6454 Å для

(ε_i)

Ø 1973 № 8

всех стабильных изотопов ($A \geq 116$). Источником света служил охлаждаемый полый катод, содержащий обогащенный изотоп. Необходимое разрешение обеспечивалось сканируемым интерферометром Фабри — Перо. При исследовании линии 6454 Å применялась система цифрового накопления данных с последующей машинной обработкой. Описана процедура измерений, обработки результатов наблюдений и исследования источников ошибок. Результаты измерений для всех трех линий хорошо согласуются друг с другом при построении графика Кинга, но расходятся с прежними измерениями. Причины расхождений не обсуждаются. Библ. 12.

Sn

1973

8 Д277. Изотопические эффекты в распределении ядерного заряда олова. Silver J. D., Sfaceous D. N. Isotope effects in the nuclear charge distribution in tin. «Proc. Roy. Soc. London», 1973, A332, № 1586, 139—150 (англ.)

Собраны сведения об изотопич. эффектах в распределении ядерного заряда для распространения изотопов олова. Сопоставление результатов работ по изотопич. смещению для рентгеновских электронных переходов, мюонных переходов, рассеянию электронов и кулоновскому возбуждению с результатами измерений изотопич. сдвигов оптич. линий привело к новым значениям изменений среднеквадратич. радиуса $\delta\langle r^2 \rangle$ для ядер олова: 116—117, 0,049; 116—118, 0,124; 118—119, 0,044; 118—120, 0,112; 120—122, 0,101; 122—124, 0,091 (значения в долях 10^{-30} м^2). Эти значения в среднем в два раза меньше вычисленных в предположении о несжимаемости ядерной материи. Малость $\delta\langle r^2 \rangle$ интерпретирована на основе двухпараметрич. модели распределения, предлагающей изменения в поверхн. слое ядра при неизменной плотности центральной части. Библ. 23.

(ε_i)

Ф1973н8

1973

Sn

Д. Ендр

Трапезников В.Л., и др.,
Физ. Мст. и металловеден.,
1073, 36, 86, 1293-1305.

(авт. №1; III)

40920.8832

TG, Ph, Mel, MGU

41158

02

1974

Sn - спектр

2444

Burkhalter P.G., Feldman U., Cowan Robert
D.

Transitions in highly ionized Sn spectra
from a laser-produced plasma.

"J. Opt. Soc. Amer.", 1974, 64, N 8, 1058-1062

(англ.)

0197 см⁻¹

182 183

183

ВИНИТИ

1974.

Sn

Roetti C., Clementi E.,

J. Chem. Phys., 1974,

61, N5, 2062-63.

y. E.; pacem

(au. dij 11)

7974

Sn

поглощ.
способн.

9 Б1154. Образование атомарного олова в водородных пламенах. Rubeška I. Tin atomization in hydrogen supported flames. «Spectrochim. acta», 1974, B29, № 9—10, 263—268 (англ.)

Измерены поглощательные способности Sn при 2863, 2706, 2840 Å в продуктах горения смесей C_2H_2 — воздух (т-ра пламени $T_r=2340^\circ K$), H_2 — воздух ($T_r=1690^\circ K$) и диффузионном пламени смеси H_2 — Ar ($T_r=1130^\circ K$). Показано, что в диффузном водородном пламени конц-ия атомарного Sn выше, чем в более горячих пламенах смесей C_2H_2 и H_2 с воздухом. Предположено, что Sn образуется в р-циях атомов H и с SnO , и приведены аргументы, подтверждающие справедливость этого предположения.

А. А. Борисов

x. 1975. № 9

7975

^{115}Sn

(Cp)

88: 127291t A method for the measurement of specific heats of small samples at low temperature. Raede, H. S. (Inst. Phys. Chem., KFA, Juelich, Juelich, Ger.). *Feinwerktech. Messtechn.* 1975, 83(5), 230-3 (Ger). A microcalorimetric method is given for detn. of the heat capacity of small samples at low temp. The sample holder and cryostat are described. Illustrative examples are shown for 63.5 mg samples of Sn at 1.5-4.7 K. The method was accurate to ~3%.

C.A. 1979, 82, N18

Sn^{2+} (copy)

1976

Harrison P.G.

(copy) Coord. Chem. Revs, 1976,
20, VI, 1-36;

(av. Ge^{2+} , II)

Sn(II)

1977

Andersen T. et al
J. Phys B 1977, 10(12),
(2) 2359-68 (Eng).



as Ca(I)-II

^{112}Sn

XIS-18862

1977

(E_i, γ)
L86: 197273w Absorption spectrum of tin(Sn II) between 1580 and 2040 Å. Brown, C. M.; Tilford, S. G.; Ginter, Marshall L. (E. O. Hulbert Cent. Space Res., Nav. Res. Lab., Washington, D. C.). *J. Opt. Soc. Am.* 1977, 67(5), 607-22 (Eng). The high-resoln. absorption spectrum of Sn I is reported in the region 1580-2040 Å. Transitions were obsd. from the $5p^{23}P$ and 1D terms to levels with $J \leq 3$ assocd. with $5pns$, $5pnd$, $5png$, and $5s5p^3$ configurations. Energy levels were detd. with n values as high as 76. A total of 1068 lines and 639 odd-parity energy levels are reported, a major part of which are new. An anal. of these data, based on K. T. Lu-U. Fapo graphical methods (1970) and multichannel quantum-defect parameterization, is presented. Ionization limits of 59232.69 ± 0.10 and 63484.18 ± 0.10 cm^{-1} were detd. for levels converging on the $5p^2P_{1/2}$ and $5p^2P_{3/2}$ levels of Sn II, resp.

C.17 1977 86 N26

Sn^-

Feldmann D.

1977

"Z. Naturforsch.", 1977,
32a, n 3-4, 302-306.

сравнение
декстроков



(ав. B-) III

Su

Lomm 5109

1977

(Хемилюмин.)
адс. конц.
столб

Fontijn A., et al
Chem. Phys. Lett.
1977, 47, №, 380-2

Sn

Husain D.

1977

"Ber. Bunsenges. phys. Chem.",
1977, 81, N2, 168-177.

Дзекмр.
бодулс.
сост.

X. 1977. N16

(ав. С) III

1977

$\text{Sn}(\underline{\text{VI}})$

$\text{Sn}(\underline{\text{V}})$

(E_i)

87: 10893Sx The $4d^9 \rightarrow 4d^85p$ transitions in cadmium(Cd IV), tin(Sn VI), and antimony(Sb VII) and the resonance lines of tin(Sn V) and antimony(Sb VI). Joshi, Y. N.; Van Kleef, T. A. M. (St. Francis Xavier Univ., Antigonish, Nova Scotia). *Can. J. Phys.* 1977, 55(7-8), 714-26 (Eng). The spectra of Cd, Sn, and Sb were photographed at 200-600 Å on 10.7 and 6.6 m grazing incidence vacuum spectrographs using a triggered spark and a sliding spark as light sources. The analyses of the $4d^85p$ configurations in Cd IV and Sn VI were revised and extended. The parametric level fitting calens. and relative oscillator strengths calens. of the allowed transitions confirm the present analyses. The sepn. of the $4d^9$ 2D multiplet in Sb VII was detd.; its value is $10,405 \pm 2 \text{ cm}^{-1}$. Accurate measurements of the resonance lines of Sn V and Sb VI have resulted in raising every level of Sn V by $+415 \text{ cm}^{-1}$ and of Sb VI by $+5 \text{ cm}^{-1}$.

C.A. 1977 87 214

1947

Kozlov M. F.

Sn

Prikl. Spektrosk. 1947,

134-7

шахта
новор.

б. б. г.

(Cu Ca $\frac{III}{II}$)

Sn announced 6916 1978

Nishida M.

J. Chem. Phys. 1978,
69 (3), 956-62

" Molecular orbital
method..." ●

Sn

ommence 8461

1979

(y)

Brăndus L. et al.
Rev. roum. phys.,
1979, 24, (6), p. 559-60.

Sn

1979

(ж. конфа-)
нр

Commerade J. P.

J. Phys. B 1979, 12(7),
2223-27

coll. 6a-11

15/4/83

Sn

Sb

Te

Y

Xe

изб. испр.
расчет

(74)



2 Д20. Базисные системы ОГТ для (In) Sn, Sb, Te, J и Xe. GTO basis sets for In, Sn, Sb, Te, J and Xe. Huzitaga S. «J. Chem. Phys.», 1979, 71, № 4, 1980—1981 (англ.)

Проведены расчеты методом Хартри — Фока — Рутана электронных оболочек атомов In, Sn, Sb, Te, J и Xe в базисе орбиталей гауссового типа (ОГТ). Базис ОГТ состоит из 18s-, 14p-, 8d-элементарных ф-ций, при этом три первые ф-ции s- и p-типов были сгруппированы. Полученные полные и орбитальные энергии атомов сравниены с энергиями, рассчитанными в двухэкспонентном и расширенном базисах орбиталей слэтеровского типа.

А. Дементьев

Ф1980.12

Sn

summae 7663

1979

Middalor y

f_{nm}

Can. J. Phys. 1979,
57, 147 -

Sn

Lomnicki 11248 | 1980.

доподл.
скрет

Dyke J. H., et al.

Mol. Phys., 1980, 41(5)

1051-59

Sn

1981

Brenot A., et al.

Int. J. Mass. Spectrom.
and Ion Phys., 1981, 41,
N 1-2, 31-43.

Fe;

(ceer. Pb; III)

Sn

1981

Cheng Wan-kia, et al.

Eu-tan Hsueh Pao,

Tzu Yan K'o Hsueh

Par 1981, 20(2), 155-160.

Chekip, Ei
Спектрение
с Гадж. NBS

(ав. Bi; III)

$S_n(\bar{V})$

Lommel 12240 1981

Kleef T. A. M., et al.

$E_i; \beta_i$

crystalline
nano

Phys. stat., 1981, 24,
554-65.

Sn_4^{2-}

1981

Lohr L.L., et al.

meosuu. Inorg. Chem. 1981, 20,
pacruu. (12), 4229 - 4235.

(ceo. Ge₉⁴⁻; $\overset{\bullet}{\text{I}}$)

Sn_9^{4-}

1981

Lohr Y. L., et al.

Inorg. Chem. 1981, 20,
meopeum.
pacrum.
(12), 4229-4235.

●
(cer. Be_9^{4-} ; ''')

Sr_5^{2-}

1981

Lohr L.L., et al.

Inorg. Chem. 1981, 20

mesoem.
pacem.

(12), 4229- 4235.

(cu. Ge₉⁴⁻; m^{I})

Sp

Leterreux 12383

1981

Sen K. D., et al.

(Ae)

J. Chem. Phys., 1981,
75 (2), 1037-1038.

$\text{Sn}(\bar{\text{V}})$ Orn. 12270 1981

Van Kleef Th. A. M.,
et al.

J; Phys. scr., 1981, 24, n3,
557 - 565.

• (see $\text{In}(\bar{\text{IV}})$; ii)

Sn

Om. 17152

1983

1 Л127. Лазерная спектроскопия изотопов олова.
 Laser spectroscopy of the tin isotopes. Baird P. E. G.,
 Blundell S. A., Burrows G., Foot C. J., Meissel G., Stacey D. N., Woodgate G. K. «J. Phys. B: Atom. and Mol. Phys.», 1983, 16, № 14, 2485—2497
 (англ.)

Измерены изотопич. сдвиги всех стабильных изотопов олова и сверхтонкое расщепление для изотопов ^{115}Sn , ^{117}Sn и ^{117}Sp . на переходе $5s^2 5p^2 {}^3P_0 \rightarrow 5s^2 5p 6s {}^3P_1$, $\lambda = 286$ нм. Атомы олова в коллимированном атомном пучке возбуждались излучением второй гармоники непрерывного кольцевого лазера на красителе. Спектры возбуждения регистрировались по флуоресценции в основном на $\lambda = 380$ нм при радиационном распаде на $5s^2 5p^2$ -состояния. Длина волны калибровалась путем гетеродинирования с излучением лазера, стабилизированного по молекулярному йоду. Получены следующие

*:Лазерн.
спектр.*

φ. 1984, 18, n/

значения относит положения изотопов (МГц):
112 : 0,0(1,0); 114 : 319,5 (1,3); 115 : 412,7 (1,1);
116 : 640,0 (0,6); 117 : 746,8 (0,7); 118 : 945,2 (0,7);
119 : 1039,3 (1,1); 120 : 1214,4 (0,5); 122 : 1448,5 (0,7);
124 : 1656,0 (0,7). Для факторов сверхтонкого расщепления уровня $5s^25p6s^3P_1$ найдены значения (МГц): $A(115) = -4395,4(2,1)$, $A(117) = -4790,7(1,7)$, $A(119) = -5014,8 (1,9)$. Данна интерпретация полученных результатов в терминах электронных факторов и зарядового радиуса ядра. Библ. 18. Г. И. Беков.

Sn

1983

(Ei)

1983: 188393f Ion-atom collision-induced absorption. Rogovin, D.; Avizonis, P.; Filcoff, J. (Rockwell Int. Sci. Cent., Thousand Oaks, CA 91360 USA). *Opt. Lett.* 1983, 8(5), 268-70 (Eng). The linear electrodynamics was examd. arising from ion-atom collision-induced absorption. For this situation, induced absorption is achieved by means of long-range electrostatic forces, and the resulting spectral lines are relatively intense, sym., and narrow. As a specific application, the $^3P_0 \rightarrow ^1S_0$ forbidden transition of Sn was examd. which is induced to absorb by collisions with I-. The resultant lines are of the order of 15 cm^{-1} wide, and the collision-induced absorption coeff. is 0.45% /cm per torr of Sn and per 0.1 torr of I-.

C.A. 1983, 98, n22

Sr

1984

Holder N.E.
Martin R.L.

Aerodeer. Pure and Appl. Chem.,
See 1984, 56, N6, 653-674.

(ccr. He; III)

Sr₂

1984

Karkhere D.C., Sohoni G.S.,
et al.

pacree
awees.
nooosm.

Phys. Lett., 1984, A100,
N4, 204-206.

(cer. Na; III)

Sn

1984

Robles Juvenio, Bartolotti
Libero J.

Ae, pacem

J, Euklipo-
ompuusam.

J. Amer. Chem. Soc.,
1984, 106, N 13, 3723 -
- 3727.

(Cu. Os; III)

S_n VII

[Om. 19042]

1984

Van Kleef Th. A.M.,
Yoshi Y.N.,

Greens

Can. J. Phys., 1984, 62,
N2, 167-● 177.

Sn

1985

/ 103: 112699m An experimental and theoretical study of the ejected-electron spectrum of tin(Sn I) and tin(Sn II) autoionizing levels between 0 and 20 eV resulting from 20-1000 eV electron impact excitation. Forrest, L. F.; James, G. K.; Ross, K. J.; Wilson, M.; Pantinakis, A. (Phys. Dep., Univ. Southampton, Southampton, UK). *J. Phys. B* 1985, 18(15), 3123-37 (Eng). The ejected-electron spectrum of Sn vapor atoms was obstd. at 75° with an incident electron beam of 20-1000 eV kinetic energy. A total of 71 lines are reported in the ejected-electron energy range 0-20 eV corresponding to autoionization processes in Sn I and Sn II. Calcns. were used to make new assignments to the sp^2np , $d^9s^2p^3$ and $d^9s^2p^2$ configurations. The results were compared with data from photoabsorption measurements, arc spectra and theor. calcns.

(*Si, атомные
зат. употреб.*)

C.A. 1985, 103, N 14.

Sr(II) 1985

Gorshkov V. N.,

Verolainer Ya. F.

T Opt. Spektrosk. 1985, 59
(5), 1157-8.

(see Sr(I); III)

Sh

(Om. 26223)

1986

(Ei)

pacem

Binter D.S., Binter M.L.,
J. Chem. Phys., 1986,
85, N 11, 6536 - 43.

[Om. 26223]

Sh

(DM-26222)

1986

Ginter R.S., Ginter M.L.,

(Ei)

J. Chem. Phys., 1986,
85, N 11, 6530-6535.

racem

Sr

1986

Miller Thomas M.,
Miller Amy E. Ste-
vers, et al.

Ge;

Phys. Rev. A: Gen. Phys.,
1986, 33, NS, 3558-3559.

(cel. Ge; $\beta\beta$)

Sn

[Om. 24275]

1986

Muller J.C., Breton A.,
Cottin et al,

Int. J. Mass Spectrom.
and Ion Process., 1986,
70, N° 2, 119-134.

Sr_2

1987

Andzelm J., Russo N.,
et al.

pl. 17.

J. Chem. Phys., 1987,
87, N 11, 6562-6572.

(see  Si_2 ; III)

SN

1987

24 Б3177. Лазерное испарение и исследование фотоионизации кластеров олова и свинца. Laser vaporization and photoionization studies of tin and lead clusters. Lai Hing K., Wheeler R. G., Wilson W. L., Duncan M. A. «Phys. and Chem. Small Clusters: Proc. NATO Adv. Res. Workshop and Int. Symp., Richmond, Va, Oct. 28—Nov. 1, 1986». New York; London, 1987, 83—87 (англ.). Место хранения ГПНТБ СССР

Методом испарения в луче эксимерного лазера (193,248 или 308 нм) получены молек. пучки изолированных металлич. кластеров, содержащих до 30—40 атомов Sn или Pb. Состав этих кластеров изучен методом времяпролетной МС после фотоионизации эксимерным лазерным излучением (248, 193 или 157 нм, мощностью до 7,9 эВ). В обоих спектрах (в условиях существования в кластерах нейтральных металлов) фо-

(11) X

X·1988, N 24

Pb

тоионизац. центр массы кластеров находится около $N=10$, имеются локальные максимумы при магич. числах $N=7$ и 10 и небольшой максимум при $N=13$. Локальные минимумы имеются при Sn_{13} , Sn_{14} и Sn_{17} , Pb_{14} , Pb_{18} и Pb_{20} . Однако в спектрах, полученных в условиях стабильности катионов металлов в кластерах, максимумы при $N=7$ и 10 отсутствуют. Сделано сравнение с лит. данными по электронной фотоионизации этих кластеров, а также кластеров C, Si и Ge.

Б. А. Ступников

Sn

1988

109: 29169s The $5s\ 5p^3$ levels of tin (Sn I). Dembowski, J.; Wilson, M. (R. Holloway and Bedford New Coll., Univ. London, Surrey, UK TW20 0EX). *Z. Phys. D: At., Mol. Clusters* 1988, 8(1), 329-32 (Eng). A reexamn. was made of the fine structure anal. of the levels of the $5s5p^3$ configuration of Sn I taking into account the perturbing effects of 22 configurations of the type $5s^25\ p^m$ and $5s25\ p^m$ s and utilizing recent exptl. data. New identifications of levels of $5s5p^3$ are proposed and reasons for their assignment are presented.

($\delta(5s5p^3)_{\text{yathu}}$)

C.A. 1988, 109, N4

Sr

1989

Ganas P. S.

J. Appl. Phys. 1989, 65

(f_{mn}) (3), 905-7.

(cev. Be; II)

Sn^-

1991

Cowan R.H., Wilson M.

He , Phys. Scr. 1991. 43,
 El . N3. C. 244-247.

(Cill.  Be^- ; III)

In

[Om 38558]

1996

Thøgersen J., Steel L.D.
et al.,

Ae
J. Phys. B: At. Mol. Opt.
Phys., 1996, 29, 1323-30

Electron affinities of Li,
Be, In and Pt by tunable

87-

[Omnilex 39655]

1998

Michael Scheer, René C.
Bilodeau, et al.,

Phys. Rev. 1998, A58, N⁴,
2844-56.

Systematic study of the
stable states of C⁻; Li⁻; Be⁻

and Si^- via infrared
laser spectroscopy.

Sn^-

1998

Scheer, Michael; et al;

(Ae) Phys. Rev. A: At. Mol.
y more or less Opt. Phys. 1998, 58 (4),
gassell 2844-56

(coll. C;  III)

Sn

2000

134: 34437y · Two-step laser excitation of $5p_{3/2}np$, nf $J = 1$ and 2 autoionizing Rydberg levels of tin. Nadeem, Alj; Bhatti, S. A.; Ahmad, Nisar; Baig, M. A. (Applied Physics Division, PINSTECH, Islamabad, Pak. 45320). *J. Phys. B: At., Mol. Opt. Phys.* 2000, 33(18), 3729–3741 (Eng), Institute of Physics Publishing. New exptl. data on the even-parity autoionizing Rydberg series in the region between $^2P_{1/2}$ and $^2P_{3/2}$ fine structure ionic limits of Sn using a two-step laser excitation scheme in conjunction with an at. beam app. are presented. The $5p6s \ ^1P_1 (, 1/2)_1$ level at $39,257.1 \text{ cm}^{-1}$ was used as an intermediate level to access the levels lying above the 1st ionization threshold. The upper levels are designated using the jj-coupling scheme and the following Rydberg series $5pnf (,)_2$ ($6 \leq n \leq 34$), $5pnf (,)_2$ ($6 \leq n \leq 18$), $5pnf (,)_1$ ($6 \leq n \leq 11$), $5pnp (, 1/2)_2$ ($9 \leq n \leq 37$), $5pnp (, 1/2)_1$ ($9 \leq n \leq 18$), $5pnp (,)_2$ ($9 \leq n \leq 27$) and $5pnp (,)_1$ ($9 \leq n \leq 18$) were detected. The obsd. spectra are simulated within the framework of the multi-channel quantum defect theory.

(ANOM - CNEP)

C.A. 2001, 134, N3